

подставлять в выражения средние значения соответствующих величин, полученные на основании статистических данных.

Таким образом, изменяя значение заданной производительности сушилки, по критерию (1) определяем площадь нижнего солнечного коллектора и связанные с ней другие конструктивные параметры гелиосушилки.

УДК 621.37:636.082.453.5

Ю.Г. Иванов, доктор техн. наук

А.А. Абрашин

Российский государственный аграрный университет — МСХА имени К.А. Тимирязева

МАТЕМАТИЧЕСКАЯ МОДЕЛЬ ЧУВСТВИТЕЛЬНОГО ЭЛЕМЕНТА ДАТЧИКА ПОЛОЖЕНИЯ БЫКА-ПРОБНИКА

Предлагаемая радиотехническая система выявления половой охоты коров с использованием быка-пробника основана на считывании идентификационного кода коровы устройством, размещенным на быке [1]. При этом в целях экономии электроэнергии включение считывателя должно происходить в момент допуска коровой садки быка [2].

При разработке радиотехнической системы выявления половой охоты коров предложена математическая модель движения датчика положения, расположенного на быке-пробнике, и проведены его экспериментальные исследования [3]. На основании проведенных расчетов решается математическая задача о движении шарика (чувствительного элемента) в трубке датчика положения. Для этого вводят обозначения (рис. 1):

Oxy — прямоугольная система декартовых координат, жестко связанная с трубкой, ось Ox которой направлена по оси рабочего участка трубки; ξ, η — координаты точки M в неподвижной системе координат $O_1\xi\eta, m$; x, y — координаты точки M в подвижной системе координат Oxy, m ; l — длина рабочего участка OK трубки, m ; φ — угол, образуемый осью Ox и горизонтальной прямой осью $O_1\xi$, рад; φ_0 — угол, образуемый осью Ox и горизонтальной прямой осью $O_1\xi$ в начальный момент, рад; m — масса материальной точки M , кг; g — ускорение свободного падения материальной точки, m/c^2 ; \vec{N} — нормальная составляющая реакции трубки; \vec{T} — сила трения скольжения между шариком (чувствительным элементом) и трубкой; \vec{F} — сила упругости пружины, H ; N, T, F — величины сил $\vec{N}, \vec{T}, \vec{F}, H$; v — величина скорости точки M относительно трубки, m/c ; c — коэффициент упругости пружины, H/m ; μ — коэффициент трения скольжения точки со стенками трубки.

Список литературы

1. Купреенко, А.И. Результаты испытания барабанной гелиосушилки зерна / А.И. Купреенко, Х.М. Исаев, Е.М. Байдаков // Вестник Брянской ГСХА. — 2009. — № 5. — С. 69–73.
2. Купреенко, А.И. Теплотехника в вопросах и ответах: учеб. пособие / А.И. Купреенко, В.И. Чашинов. — Брянск: Брянская ГСХА, 2010. — 184 с.

Так как точка M движется вдоль оси Ox , координата y ее не изменяется. Будем считать, что $y = 0$.

Допустим, что шарик и точка M связаны с трубкой пружиной, сила упругости которой прямо пропорциональна коэффициенту c упругости и расстоянию x от точки O до точки M .

Задание коэффициента c равным нулю равносильно отсутствию пружины.

Запишем уравнения связи между координатами точки в неподвижной и подвижной системах координат (рис. 1):

$$\begin{cases} \xi = \xi_0 - x \cos \varphi; \\ \eta = \eta_0 + x \sin \varphi, \end{cases} \quad (1)$$

где $\varphi = \varphi_0 - \varphi_3 + \varphi_{30} = \varphi_0 - \varphi_3 - 0,006$; ξ_0, η_0, φ_3 — функции времени, определенные уравнениями движения трубки на первом и втором участках [3].

Освободим точку M от трубки, приложив к точке реакции трубки \vec{N} и \vec{T} .

Запишем дифференциальные уравнения движения свободной материальной точки M массы m

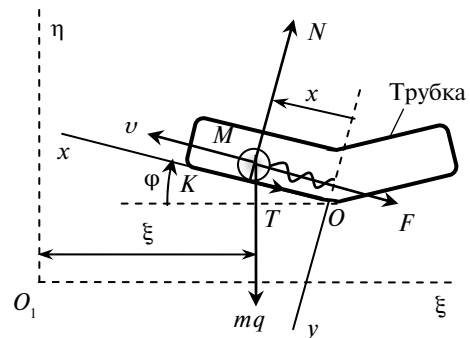


Рис. 1. Схема движения чувствительного элемента в трубке датчика положения

по трубке вдоль оси Ox в неподвижной системе отсчета $O_1\xi\eta$:

$$\begin{cases} m\ddot{\xi} = N \sin \varphi + T \frac{\dot{x}}{v} \cos \varphi + cx \cos \varphi; \\ m\ddot{\eta} = -mq + N \cos \varphi - T \frac{\dot{x}}{v} \sin \varphi - cx \sin \varphi, \end{cases} \quad (2)$$

где $v = |\dot{x}|$.

Подставим в уравнения (2) функции координат ξ, η точки M из выражения (1) с учетом равенств (уравнений) движения трубки на первом и втором участках [3].

На первом участке, когда $0 \leq t \leq 1,5$ с, дифференциальные уравнения движения точки M приводятся к виду

$$\begin{cases} m \left[-\ddot{x} \cos \varphi + 2\dot{x}\dot{\varphi} \sin \varphi + x(\dot{\varphi}^2 \cos \varphi + \ddot{\varphi} \sin \varphi) \right] = \\ = -m\ddot{\xi}_0 + N \sin \varphi + \left(T \frac{\dot{x}}{v} + cx \right) \cos \varphi; \\ m \left[\ddot{x} \sin \varphi + 2\dot{x}\dot{\varphi} \cos \varphi + x(\ddot{\varphi} \cos \varphi - \dot{\varphi}^2 \sin \varphi) \right] = \\ = -m\ddot{\eta}_0 - mq + N \cos \varphi - \left(T \frac{\dot{x}}{v} + cx \right) \sin \varphi, \end{cases} \quad (3)$$

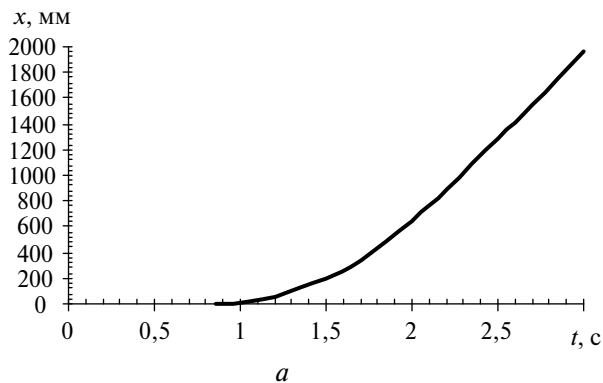
$$T = \mu N, \text{ если } \dot{x} \neq 0.$$

Три уравнения (3) имеют три неизвестные величины: x, N, T .

Подставляя T из третьего уравнения в первые два, а затем N из второго в первое, приходим к обыкновенному дифференциальному уравнению второго порядка, в котором неизвестной является функция $x(t)$:

$$\begin{aligned} \ddot{x} \cos \varphi - 2\dot{x}\dot{\varphi} \sin \varphi - x(\dot{\varphi}^2 \cos \varphi + \ddot{\varphi} \sin \varphi) + \\ + \frac{N}{m} \left(\sin \varphi + \mu \frac{\dot{x}}{v} \cos \varphi \right) + \frac{c}{m} x \cos \varphi = \ddot{\xi}_0, \end{aligned} \quad (4)$$

где $v = |\dot{x}|$; $\varphi_3 = (-0,006 + 0,215t - 0,033t^2)$; $\dot{\varphi}_3 = 0,215 - 0,066t$; $\ddot{\varphi}_3 = -0,066$; $\varphi = \varphi_0 - \varphi_3 + \varphi_{30} = \varphi_0 - 0,215t + 0,033t^2$; $\dot{\varphi} = -\dot{\varphi}_3 = -0,215 + 0,066t$; $\ddot{\varphi} = -\ddot{\varphi}_3 = 0,066$; $\ddot{\xi}_0 = -L_3(\dot{\varphi}_3^2 \cos \varphi_3 + \ddot{\varphi}_3 \sin \varphi_3)$; $\ddot{\eta}_0 = L_3(\dot{\varphi}_3 \cos \varphi_3 - \ddot{\varphi}_3 \sin \varphi_3)$; $\frac{N}{m} = 2\dot{x}\dot{\varphi} + x\ddot{\varphi} + q \cos \varphi + \ddot{\xi}_0 \sin \varphi + \ddot{\eta}_0 \cos \varphi$.



Примем, что в начальный момент на первом участке точка покоилась: $x(0) = 0$; $\dot{x}(0) = 0$.

На втором участке, когда $T < t \leq 2T$ дифференциальное уравнение отличается функцией $\varphi_3(t)$ и начальными условиями, которые равны координате $x(T)$ и скорости $\dot{x}(T)$ точки в момент времени T на первом участке:

$$\begin{aligned} \ddot{x} \cos \varphi - 2\dot{x}\dot{\varphi} \sin \varphi - x\dot{\varphi}^2 \cos \varphi + \\ + \frac{N}{m} \left(\sin \varphi + \mu \frac{\dot{x}}{v} \cos \varphi \right) + \frac{c}{m} x \cos \varphi = \ddot{\xi}_0, \end{aligned} \quad (5)$$

где $v = |\dot{x}|$; $\beta = -0,006 + 0,215 \cdot 1,5 - 0,033 \cdot 1,5^2$; $\omega_3 = (0,215 \times 1,5 - 0,033 \cdot 1,5^2)/1,5$; $\varphi_3 = \beta - \omega_3(t - 1,5)$; $\dot{\varphi}_3 = -\omega_3$; $\varphi = \varphi_0 - \varphi_3 + \varphi_{30} = \varphi_0 - \beta + \omega_3(t - 1,5) - 0,006$; $\dot{\varphi} = -\dot{\varphi}_3 = \omega_3$; $\ddot{\xi}_0 = -L_3\dot{\varphi}_3^2 \cos \varphi_3$; $\ddot{\eta}_0 = -L_3\dot{\varphi}_3 \sin \varphi_3$; $\frac{N}{m} = 2\dot{x}\dot{\varphi} + q \cos \varphi + \ddot{\xi}_0 \sin \varphi + \ddot{\eta}_0 \cos \varphi$.

Дифференциальные уравнения (4), (5) решались численным методом Рунге–Кутты 4-го порядка при нулевых начальных условиях $x(0) = 0$ мм, $v(0) = 0$ м/с и варьировании начального угла установки трубки к горизонту $\varphi_0 = 0 \dots 20^\circ$, коэффициента трения $\mu = 0 \dots 0,4$ и отношения коэффициента упругости пружины к массе шарика $c/m = 0 \dots 10,0$ Н/(м·кг) [4].

Сила тяжести оказывает решающее влияние на движение шарика. Она на порядок превышает силы инерции.

Чем меньше коэффициент μ трения и меньше начальный угол φ_0 установки прямого рабочего участка трубки OK к горизонту, тем больше перемещение OM шарика по трубке за время T и $2T$.

Чтобы выполнить условие $OM \geq OK$ для всех случаев, необходимо рассматривать наибольшие значения коэффициента μ трения.

Если пружина не установлена, а коэффициент трения шарика со стенками трубки не превышает $0,1$, длина рабочего участка трубки должна быть не меньше 50 мм при начальной установке трубки к горизонту не более $\varphi_0 = 6,5^\circ$ (рис. 2).

Однако такой датчик имеет низкую устойчивость к ложному срабатыванию при нулевом коэф-

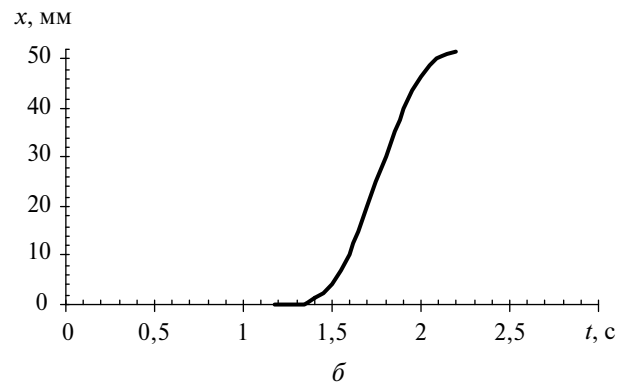


Рис. 2. Графики перемещения шарика по трубке с коэффициентами трения $\mu = 0$ (а) и $\mu = 0,1$ (б)

фициенте трения. Например, при беге быка с ускорением более 1 м/с^2 шарик переместится по трубке за 1 с более чем на 450 мм.

Чтобы защитить датчик от ложного срабатывания, можно проверить такие технические решения:

- 1) подобрать материал шарика и трубки с большим коэффициентом трения скольжения;
- 2) установить пружину, максимальное растяжение которой при максимальном ускорении бега быка не превышает длины OK рабочего участка;
- 3) подобрать форму трубки, например, радиус изогнутой по окружности трубки так, чтобы при максимальном ускорении бега быка шарик не достигал предельной точки K рабочего участка.

Рассмотрим трубку, изогнутую по окружности радиуса R в неподвижной и подвижной системе координат (рис. 3).

Составим дифференциальные уравнения движения материальной точки M , полагая, что трубка гладкая и коэффициент μ трения равен нулю.

Пусть в начальном положении участок OK внешней окружности трубки расположен так, что касательная, проведенная через начало координат, точку O , является осью Ox и образует с горизонтальной осью $O_1\xi$ угол φ . Очевидно, положение участка OK движущейся трубки однозначно определяется координатами точки O и углом φ .

Положение точки M на окружности радиуса R однозначно определяется длиной дуги OM или, что то же самое, полярным углом ψ , равным отношению длины дуги к радиусу R .

Запишем уравнения связи между координатами точки в неподвижной и подвижной системе координат (рис. 3):

$$\begin{cases} \xi = \xi_0 - R \sin \psi \\ \eta = \eta_0 + R - R \cos \psi, \end{cases} \quad (6)$$

где $\varphi = \varphi_0 - \varphi_3 + \varphi_{30} = \varphi_0 - \varphi_3 - 0,006$; ξ_0, η_0, φ_3 — функция времени, определенная уравнениями движения трубки на первом и втором участках [3].

Освободим точку M от трубки, приложив к точке реакцию \vec{N} трубки.

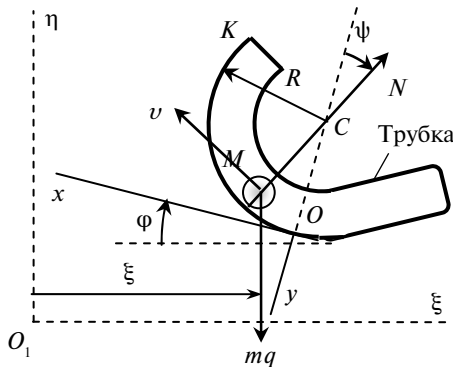


Рис. 3. Схема движения чувствительного элемента в трубке, изогнутой по окружности

Составим дифференциальные уравнения движения свободной материальной точки M массы m по окружности радиуса R в неподвижной системе отсчета $O_1\xi\eta$ под действием веса $m\vec{q}$ и реакции \vec{N} :

$$\begin{cases} m\ddot{\xi} = N \sin(\varphi + \psi) \\ m\ddot{\eta} = -mq + N \cos(\varphi + \psi). \end{cases} \quad (7)$$

Подставим в уравнения (7) функции координат ξ, η точки M из равенств (6)

На первом участке, когда $0 \leq t \leq 1,5$ с, дифференциальные уравнения движения точки M приводятся к виду

$$\begin{cases} m[\ddot{\xi}_0 - R\ddot{\psi} \cos \psi + R\dot{\psi}^2 \sin \psi] = \\ = N \sin(\varphi + \psi) \\ m[\ddot{\eta}_0 - R\ddot{\psi} \sin \psi + R\dot{\psi}^2 \cos \psi] = \\ = -mq + N \cos(\varphi + \psi). \end{cases} \quad (8)$$

Два уравнения (8) имеют две неизвестные: ψ, N .

Подставляя N из первого уравнения во второе, приходим к обыкновенному дифференциальному уравнению второго порядка, в котором неизвестной является функция $\psi(t)$:

$$R\ddot{\psi} \cos \varphi + R\dot{\psi}^2 \sin \varphi = -q \sin(\varphi + \psi) + \ddot{\xi}_0 \cos(\varphi + \psi) - \ddot{\eta}_0 \sin(\varphi + \psi), \quad (9)$$

где $\varphi_3 = (-0,006 + 0,215t - 0,033t^2)$; $\dot{\varphi}_3 = 0,215 - 0,066t$; $\ddot{\varphi}_3 = -0,066$; $\varphi = \varphi_0 - \varphi_3 + \varphi_{30} = \varphi_0 - 0,215t + 0,033t^2$; $\dot{\varphi} = -\dot{\varphi}_3 = -0,215 + 0,066t$; $\ddot{\varphi} = -\ddot{\varphi}_3 = 0,066$; $\ddot{\xi}_0 = -L_3(\dot{\varphi}_3^2 \times \cos \varphi_3 + \ddot{\varphi}_3 \sin \varphi_3)$; $\ddot{\eta}_0 = L_3(\dot{\varphi}_3^2 \cos \varphi_3 - \ddot{\varphi}_3^2 \sin \varphi_3)$.

Примем, что в начальный момент на первом участке точка покоилась: $\psi(0) = 0$; $\dot{\psi}(0) = 0$.

На втором участке, когда $T < t \leq 2T$ дифференциальное уравнение отличается функцией $\varphi_3(t)$ и начальными условиями, которые равны координате $\psi(T)$ и $\dot{\psi}(T)$ в момент времени T на первом участке:

$$R\ddot{\psi} \cos \varphi + R\dot{\psi}^2 \sin \varphi = -q \sin(\varphi + \psi) + \ddot{\xi}_0 \cos(\varphi + \psi) - \ddot{\eta}_0 \sin(\varphi + \psi), \quad (10)$$

где $\beta = -0,006 + 0,215 \cdot 1,5 - 0,033 \cdot 1,5^2$; $\omega_3 = (0,215 \cdot 1,5 - 0,033 \cdot 1,5^2)/1,5$; $\varphi_3 = \beta - \omega_3(t - 1,5)$; $\dot{\varphi}_3 = -\omega_3$; $\varphi = \varphi_0 - \varphi_3 + \varphi_{30} = \varphi_0 - \beta + \omega_3(t - 1,5) - 0,006$; $\dot{\varphi} = -\dot{\varphi}_3 = -\omega_3$; $\ddot{\xi}_0 = -L_3\dot{\varphi}_3^2 \cos \varphi_3$; $\ddot{\eta}_0 = -L_3\dot{\varphi}_3^2 \sin \varphi_3$.

Дифференциальные уравнения (9), (10) решались численным методом Рунге–Кутты 4-го порядка при нулевых начальных условиях, варьировании начального угла установки трубки к горизонту φ_0 и радиуса R трубки.

Параметры трубки, при которых шарик достигал наивысшего положения окружности радиуса R , когда $\varphi + \psi = 180^\circ$ считались неприемлемыми.

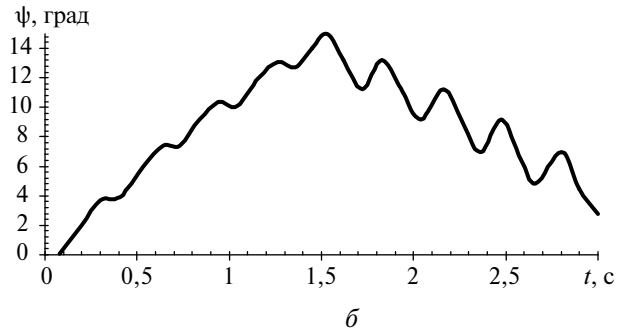
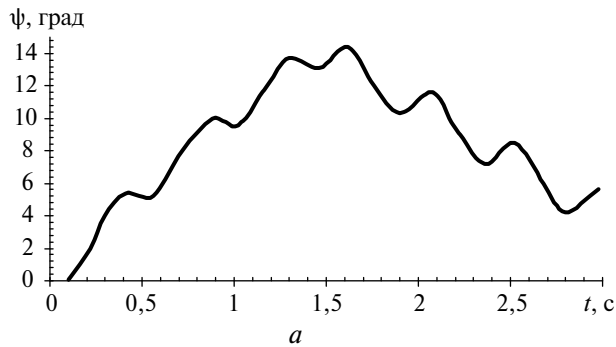


Рис. 4. Графики движения шарика по трубке, изогнутой по окружности с радиусами $R = 50$ мм (а) $R = 25$ мм (б) и $\varphi_0 = 0^\circ$, при наскоке быка

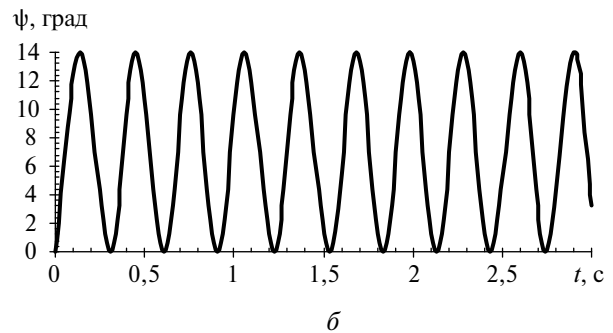
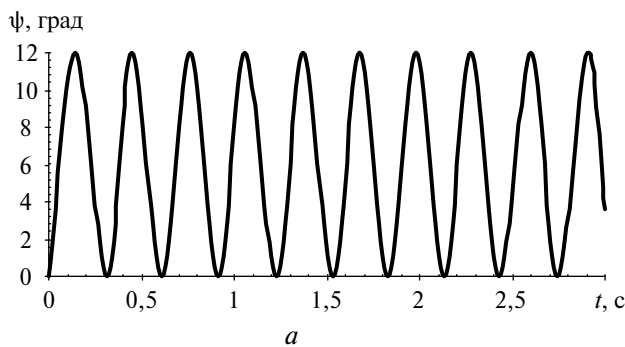


Рис. 5. Графики движения шарика по трубке, изогнутой по окружности с радиусом $R = 25$ мм с ускорениями $a = 1$ м/с² (а) $a = 1,2$ м/с² (б) и $\varphi_0 = 0^\circ$, при горизонтальном беге быка

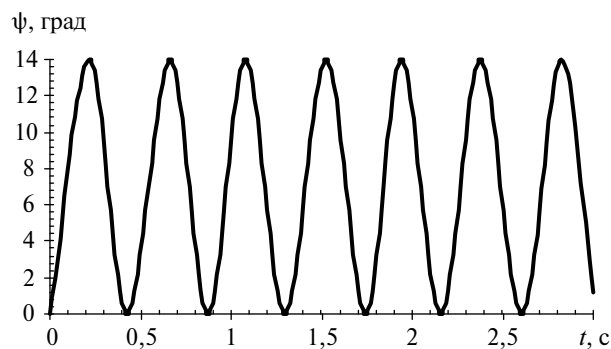


Рис. 6. График движения шарика по трубке, изогнутой по окружности $R = 50$ мм с ускорением $1,2$ м/с² и $\varphi_0 = 0^\circ$, при горизонтальном беге быка

Результаты расчета показали, что датчик с трубкой, изогнутой по окружности, работоспособен при разных начальных установках и разных радиусах окружности (рис. 4).

Проверим датчик на устойчивость к ложному срабатыванию. Составим и решим дифференциальное уравнение движения шарика за время бега быка, когда точка O движется по горизонтали с ускорением a . Дифференциальное уравнение движения шарика в этом случае аналогично уравнению (9), если принять $\varphi = \varphi_0$; $\ddot{\xi}_0 = a$; $\ddot{\eta}_0 = 0$.

Сравнение графиков движения шарика при наскоке быка на рис. 4 и горизонтальном беге с ускорением на рис. 5 позволяет сделать вывод, что дат-

чик с трубкой, изогнутой по окружности любого радиуса, устойчив, если при нулевом угле установки трубки ускорение a бега не превышает $1,2$ м/с².

Размах 10 мм и 18 мм колебаний шарика остается неизменным и при радиусе 50 мм; частота колебаний при этом уменьшается (рис. 6).

Расчеты показали, что математическая модель позволяет получить такое движение трубки и чувствительного элемента в ней, при котором защищается датчик положения от ложного срабатывания. Радиус изгиба трубки составляет 50 мм, это позволит применить данный датчик положения в радиотехнической системе для выявления половой охоты коров.

Список литературы

1. Иванов, Ю.Г. Алгоритм и радиотехническая система контроля половой охоты коров / Ю.Г. Иванов, А.А. Абрашин // Автоматизация и информационное обеспечение производственных процессов в сельском хозяйстве: сборник докладов XI Международной научно-практической конференции. — М.: ФГУП «Изд-во «Известия»» УДП РФ, 2010. — С. 492–496.
2. Пат. 97265 РФ МПК А61D 19/00. Система для определения оптимального времени осеменения коров и телок / Ю.Г. Иванов, Г.П. Дюльгер, А.А. Абрашин; заявл. 15.04.2010; опубл. 10.09.2010, Бюл. № 25.
3. Иванов, Ю.Г. Математическая модель датчика положения быка-пробника радиотехнической системы / Ю.Г. Иванов, А.А. Абрашин // Техника в сельском хозяйстве. — 2011. — № 5. — С. 17–19.
4. Корн, Г. Справочник по математике / Г. Корн, Т. Корн. — М.: Наука, 1974. — 708 с.